

# ИЗВЕСТИЯ

ТОМСКОГО ОРДЕНА ОКТЯБРЬСКОЙ РЕВОЛЮЦИИ И ОРДЕНА ТРУДОВОГО  
КРАСНОГО ЗНАМЕНИ ПОЛИТЕХНИЧЕСКОГО ИНСТИТУТА им. С. М. КИРОВА

Том 294

1976

## К ВЫБОРУ ПАРАМЕТРОВ ИСПОЛНИТЕЛЬНОГО ОРГАНА ТИРИСТОРНОГО РЕГУЛЯТОРА НАПРЯЖЕНИЯ ПЕРЕМЕННОГО ТОКА

В. М. РАЗИН, Л. А. ВОЛЫНСКАЯ

(Представлена научным семинаром кафедры вычислительной техники)

В качестве регуляторов напряжения переменного тока получили распространение устройства, представляющие собой повышающий автотрансформатор, между концом основной обмотки которого и общей шиной, соединяющей нагрузку с клеммой источника переменного на-

прижения, включен исполнительный орган, представляющий собой два включенных встречно-параллельно тиристора  $T_1$ ,  $T_2$  (рис. 1) [1, 2].

Особенностью рассматриваемых регуляторов напряжения переменного тока при  $\frac{W_1}{W_2} > 1$  является то, что в псевдоуставившемся режиме протекающий через исполнительный орган ток  $i_o$  оказывается меньше номинального значения тока нагрузки  $i_n$ . Однако при сверхпереходных процессах величина тока  $i_o$  может существенно превосходить номинальное значение тока нагрузки.

Рис. 1. Схема тиристорного регулятора напряжения переменного тока

Это явление особенно сильно проявляется при работе регулятора на резонансную нагрузку с высокой добротностью.

В общем случае, если пренебречь потерями в автотрансформаторе, то, используя операторную форму записи, будем иметь для напряжения на нагрузке  $U_n$  и тока  $i_o$  следующие выражения

$$U_n(p) = U_c(p) \frac{Z_n(p)[Z_0(p) + pL_2K(1+K)]}{Z_0(p) \cdot Z_n(p) + pL_2[K^2Z_n(p) + Z_0(p)]}, \quad (1)$$

$$i_o(p) = U_c(p) \frac{[Z_n(p) + pL_2(1+K)]}{Z_0(p) \cdot Z_n(p) + pL_2[K^2Z_n(p) + Z_0(p)]}. \quad (2)$$

В выражениях (1), (2)

$Z_n(p)$  — операторный импеданс цепи нагрузки;

$Z_0(p)$  — операторный импеданс цепи исполнительного органа;

$L_2$  — индуктивность последовательной обмотки автотрансформатора;

$$K = \frac{W_1}{W_2};$$

$W_1$  — число витков основной обмотки автотрансформатора;

$W_2$  — число витков последовательной обмотки автотрансформатора.

Если нагрузка представляет собой резонансный контур, образованный соединенными параллельно сопротивлением  $R_h$ , индуктивностью  $L_h$  и конденсатором  $C_h$ , то

$$Z_h(p) = \frac{p}{c_h \left( p^2 + \frac{p}{R_h c_h} + \frac{1}{L_h c_h} \right)}. \quad (3)$$

Как видно из выражения (1), в установившемся режиме максимальное значение напряжения  $U_h$  будет иметь место при  $Z_o \approx 0$ . В этом случае

$$U_{h\max} = U_{mc} \frac{1+K}{K} \sin \omega t \quad (4)$$

Минимальное значение выходного напряжения регулятора соответствует случаю  $Z_o = 0$  и равно

$$U_{h\min} = \frac{U_{mc}}{\sqrt{1+m^2}} \sin(\omega t - \arctg m) \quad (5)$$

$$\text{В выражении (5)} \quad m = \frac{\omega L_2}{R_h}$$

При этом ток, протекающий по катушке с индуктивностью  $L_h$ , будет равен

$$i_L = - \frac{U_{mc} \cdot Q}{R_h \cdot \sqrt{1+m^2}} \cdot \cos(\omega t - \arctg m) \quad (6)$$

где  $Q = \omega C_h R_h = \frac{R_h}{\omega L_h}$  — добротность резонансного контура.

Для определения характера изменения во времени напряжения на нагрузке  $U_h$  и тока исполнительного органа  $i_o$  при мгновенном изменении сопротивления исполнительного органа от максимального значения ( $Z_o \approx \infty$ ) до минимального ( $Z_o = r_o$ ) необходимо решить при начальных условиях

$$U_h(0) = - \frac{U_{mc} \cdot m}{1+m^2} \cdot \cos \alpha_k \left( 1 - \frac{1}{m} \operatorname{tg} \alpha_k \right) \quad (7)$$

$$i_L(0) = - \frac{U_{mc} \cdot Q}{R_h(1+m^2)} \cdot \cos \alpha_k (1 + m \operatorname{tg} \alpha_k) \quad (8)$$

Уравнения (1), (2) и уравнение (9)

$$i_L(p) = U_c(p) \frac{Z_0(p) + p L_2 K (1+K)}{Z_0(p) p L_h \left( 1 + \frac{p L_2}{R_h} \right) + p L_2 [K^2 p L_h + Z_0(p)(1+p^2 L_h c_h)]}. \quad (9)$$

Здесь  $\alpha_k$  — момент коммутации тиристора исполнительного органа;

$r_o$  — минимальное сопротивление тиристорного исполнительного органа.

После мгновенного срабатывания тиристорного исполнительного органа в момент времени  $\omega t_k = \alpha_k$  напряжение на выходе регулятора изменяется в соответствии с выражением

$$\begin{aligned}
U_H &= U_{mc} \sqrt{\frac{1 + \frac{m^2}{a_0^2} K^2 (1+K)^2}{1 + \frac{m^2}{a_0^2} (K^2 + a_0^2)}} \sin \left[ \omega t + \alpha_k + \right. \\
&\quad \left. + \arctg \frac{ma_0(1-a_0)}{a_0^2 + m^2 K^2 (K^2 + a_0^2) (1+K)} \right] + \frac{U_{mc} \cdot e^{-\frac{\omega t}{2Qa_0}(a_0+K^2)}}{\sqrt{A}} \times \\
&\quad \times \left\{ \frac{\cos \alpha_k (1+m \operatorname{tg} \alpha_k)}{1+m^2} \sqrt{1 + \frac{1}{mQ}} \cdot \sqrt{A + \left[ 1 + m \frac{2Q \cdot a_0}{a_0 + K^2} \times \right.} \right. \\
&\quad \left. \times \frac{1 - \frac{1}{m} \operatorname{tg} \alpha_k}{1 + m \operatorname{tg} \alpha_k} \right]^2 \times \sin \left[ \frac{\omega t}{2Qa_0} (a_0 + K^2) \sqrt{A} - \arctg \times \right. \\
&\quad \left. \times \frac{\sqrt{A}}{1 + \frac{2Qa_0}{m(a_0 + K^2)} \left( 1 + \frac{1}{Qm} \right) \frac{1 + m \operatorname{tg} \alpha_k}{1 - \frac{1}{m} \operatorname{tg} \alpha_k}} \right] + \\
&\quad + \frac{\sin \alpha_k \left[ 1 + \frac{m}{a_0} K (1+K) \operatorname{ctg} \alpha_k \right]}{\sqrt{1 + \frac{m^2}{a_0^2} (a_0^2 + K^2)^2}} \times \\
&\quad \times \sqrt{A + \left[ 1 - \frac{a_0}{mK(1+K)} \cdot \frac{1 - \frac{m}{a_0} K (1+K) \operatorname{tg} \alpha_k}{1 + \frac{a_0}{mK} \cdot \frac{\operatorname{tg} \alpha_k}{1+K}} \right]^2} \times \\
&\quad \times \sin \left[ \frac{\omega t}{2Qa_0} (a_0 + K^2) \cdot \sqrt{A} + \arctg \times \right. \\
&\quad \left. \times \frac{\sqrt{A}}{\frac{2Qa_0}{(a_0 + K^2)} \cdot \frac{\left[ 1 - \frac{m}{a_0} K (1+K) \cdot \operatorname{tg} \alpha_k \right]}{mK(1+K) \left[ 1 + \frac{a_0}{mK} (1+K) \operatorname{tg} \alpha_k \right]} - 1} + \right. \\
&\quad \left. + \arctg \frac{\sqrt{A}}{1 - \frac{2Qa_0}{(a_0 + K^2)^2 m}} \right]. \tag{10}
\end{aligned}$$

Здесь

$$A = \frac{4Q^2 a_0^2}{(a_0^2 + K^2)^2} \left( 1 - \frac{1}{mQ} \right), \quad a_0 = \frac{r_0}{R_H}$$

При сверхпереходном процессе для тока  $i_0$  имеем

$$\begin{aligned}
 i_0 = & \frac{U_{mc}}{r_0} \sqrt{\frac{1 + m^2(1+K)^2}{1 + \frac{m^2}{a_0^2}(K^2+a_0^2)}} \sin \left[ \omega t + \alpha_k + \right. \\
 & \left. + \operatorname{arctg} \frac{mK(a_0+K)}{a_0+m^2(1+K)(K^2+a_0)} \right] + \frac{U_{mc} e^{-\frac{\omega t}{2Qa_0}(a_0+K^2)}}{\sqrt{A}} \times \\
 & \times \left\{ \frac{\sin [\alpha_k + \operatorname{arctg} m(1+K)]}{r_0} \cdot \sqrt{\frac{1 + m^2(1+K)^2}{1 + \frac{m^2}{a_0^2}(K^2+a_0^2)}} \times \right. \\
 & \times \sqrt{A + \left\{ 1 - \frac{2Qa_0}{a_0+K^2} \operatorname{ctg} [\alpha_k + \operatorname{arctg} m(1+K)] \right\}^2} \times \\
 & \times \sin \left[ \frac{\omega t}{2Qa_0} (a_0+K^2) \sqrt{A} + \operatorname{arctg} \frac{2Qa_0}{a_0+K^2} \operatorname{ctg} [\alpha_k + \operatorname{arctg} m(1+K)] - 1 \right. \\
 & \left. + \operatorname{arctg} \frac{\sqrt{A}}{1 - \frac{2Qa_0^2}{m(a_0+K^2)^2}} \right] - \frac{(a_0+K^2) \cdot K^2}{R_h \cdot 2Qa_0(1+m^2)} \cos \alpha_k \cdot (1 + m \operatorname{tg} \alpha_k) \times \\
 & \times \sqrt{A + \left[ 1 + \frac{2Qa_0m}{a_0+K^2} \cdot \frac{1 - \frac{1}{m} \operatorname{tg} \alpha_k}{1 + \frac{1}{m} \operatorname{tg} \alpha_k} \right]^2} \times \\
 & \times \sqrt{A + \left[ 1 - \frac{2Qa_0^2}{m(a_0+K^2)^2} \right]^2} \times \cos \left[ \frac{\omega t}{2Qa_0} (a_0+K^2) \sqrt{A} - \operatorname{arctg} \times \right. \\
 & \times \left. \frac{1 + \frac{2Qa_0m}{a_0+K^2} \cdot \frac{1 - \frac{1}{m} \operatorname{tg} \alpha_k}{1 + m \operatorname{tg} \alpha_k}}{\sqrt{A}} - \operatorname{arctg} \frac{\sqrt{A}}{1 - \frac{2Qa_0^2}{m(a_0+K^2)^2}} \right] \quad (11)
 \end{aligned}$$

Как видно из выражения (11), при  $Q \gg 1$  и  $a_0 \ll 1$  непосредственно после момента коммутации ток через исполнительный орган определяется главным образом свободной составляющей тока  $i_{0\text{св1}}$ , обусловленной энергией, запасенной резонансным контуром до момента коммутации

$$\begin{aligned}
 i_{0\text{св1}} \simeq & - \frac{U_{mc} K^2 \cos \alpha_k (1 + m \operatorname{tg} \alpha_k)}{a_0 R_h (1 + m^2) \sqrt{\frac{4Q^2 a_0^2}{K^4} - 1}} \times \\
 & \times \sqrt{\frac{4Q^2 a_0^2}{K^4} - 1 + \left[ 1 + \frac{2Qa_0 \cdot (m - \operatorname{tg} \alpha_k)}{K^2 \cdot (1 - m \operatorname{tg} \alpha_k)} \right]^2} \cdot e^{-\frac{\omega K^2 t}{2Qa_0}} \times
 \end{aligned}$$

$$\times \cos \left[ \frac{\omega t K^2}{2Qa_0} \sqrt{\frac{4Q^2a_0^2}{K^4} - 1} - \arctg \frac{1 + \frac{2Qa_0}{K^2} \cdot \frac{m - \operatorname{tg} \alpha_k}{1 + m \operatorname{tg} \alpha_k}}{\sqrt{\frac{4Q^2a_0^2}{K^4} - 1}} \right. \\ \left. - \arctg \sqrt{\frac{4Q^2a_0^2}{K^4} - 1} \right]. \quad (12)$$

Согласно выражению (12), при  $\frac{2Qa_0}{K^2} > 1$  переходный процесс для тока  $i_{\text{осв1}}$  колебательно-затухающий. При  $\frac{2Qa_0}{K^2} = 1$

$$i_{\text{осв1}} = - \frac{U_{mc} \cdot K^2}{a_0 R_n (1 + m^2)} \cdot [m \cos \alpha_k - \sin \alpha_k] \cdot e^{-\frac{\omega K^2}{2Qa_0} t}. \quad (13)$$

Для случая  $\frac{2Qa_0}{K^2} < 1$  процесс затухания тока  $i_{\text{осв1}}$  апериодический и протекает без выбросов.

При добротности резонансного контура  $60 \div 80$  обычно имеем, что  $\frac{2Qa_0}{K^2} \geq 1$ , а длительность сверхпереходного процесса для тока  $i_{\text{осв1}}$  при частоте питающего напряжения 50 гц не превышает нескольких миллисекунд, т. е. к следующему моменту срабатывания тиристоров сверхпереходный процесс заканчивается.

Анализ выражения (12) показывает, что амплитудное значение свободной составляющей тока  $i_{\text{осв1}}$  зависит от величины коэффициента  $a_0$ , угла поджига тиристора исполнительного органа  $\alpha_k$ . Зависимости  $\frac{I_{\text{осв1}}}{I_{m_n}} = f(\alpha_k)$  при различных значениях  $a_0$ ,  $m$  и  $K = 1,4$  приведены на рис. 2. Амплитудное значение тока нагрузки регулятора  $I_{m_n}$  определено как отношение  $\frac{U_{mc}}{R_n} \cdot \frac{1+K}{K}$ .

Кривая 1 рассчитана для слу-

чая  $m = 2$ ,  $a_0 = 0,01$ , кривая 2 — для  $m = 5$ ,  $a_0 = 0,01$ , кривая 3 —  $m = 2$ ,  $a_0 = 0,05$ , кривая 4 —  $m = 5$ ,  $a_0 = 0,05$ . При  $\alpha_k = \arctg m$  свободная составляющая тока  $i_{\text{осв1}}$  равна нулю. С уменьшением величины коэффициента  $a_0$  ток  $i_{\text{осв1}}$  увеличивается.

Хотя при  $a_0 = 0,01$  амплитудное значение тока  $i_{\text{осв1}}$  в момент коммутации в десятки раз превосходит вынужденную составляющую тока  $i_{\text{осв}}$ , однако при  $Q = 60 \div 80$  мгновенное значение тока  $i_{\text{осв}}$  уменьшается в десять раз уже через  $0,002 \div 0,003$  сек.

Полученное выражение (12) позволяет оценить кратковременные перегрузки, возникающие при первоначальном срабатывании исполнительного органа регулятора, работающего на резонансную нагрузку,

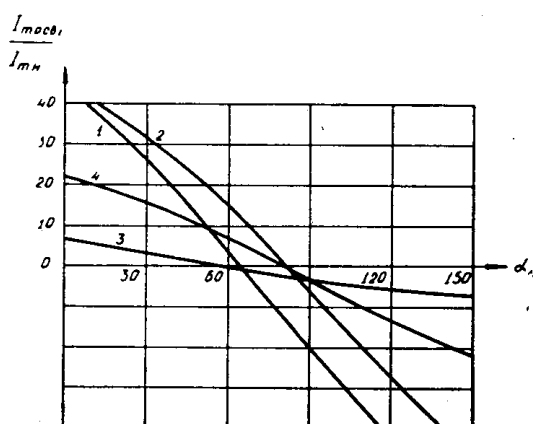


Рис. 2. Зависимость амплитуды тока  $i_{\text{осв1}}$  от угла поджига тиристоров

чая  $m = 2$ ,  $a_0 = 0,01$ , кривая 2 — для  $m = 5$ ,  $a_0 = 0,01$ , кривая 3 —  $m = 2$ ,  $a_0 = 0,05$ , кривая 4 —  $m = 5$ ,  $a_0 = 0,05$ . При  $\alpha_k = \arctg m$  свободная составляющая тока  $i_{\text{осв1}}$  равна нулю. С уменьшением величины коэффициента  $a_0$  ток  $i_{\text{осв1}}$  увеличивается.

Хотя при  $a_0 = 0,01$  амплитудное значение тока  $i_{\text{осв1}}$  в момент коммутации в десятки раз превосходит вынужденную составляющую тока  $i_{\text{осв}}$ , однако при  $Q = 60 \div 80$  мгновенное значение тока  $i_{\text{осв}}$  уменьшается в десять раз уже через  $0,002 \div 0,003$  сек.

Полученное выражение (12) позволяет оценить кратковременные перегрузки, возникающие при первоначальном срабатывании исполнительного органа регулятора, работающего на резонансную нагрузку,

выбрать тип тиристоров исполнительного органа, способных выдержать эти перегрузки.

#### ЛИТЕРАТУРА

1. А. Я. Якушев. Применение тиристоров для стабилизации напряжения вспомогательных цепей электропоездов переменного тока типа ЭР-9. Труды ЛИИЖТа, вып. 277, 45, Л., 1968.

2. В. И. Некрасов, А. Я. Якушев. Особенности расчета ферро-тиристорного стабилизатора напряжения. Труды ЛИИЖТа, вып. 293, 85, Л.